

FIG. 1

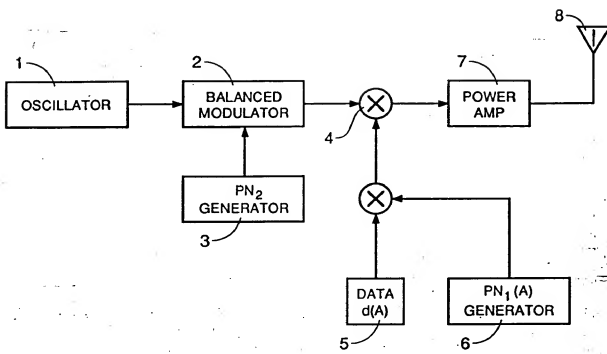


FIG. 2

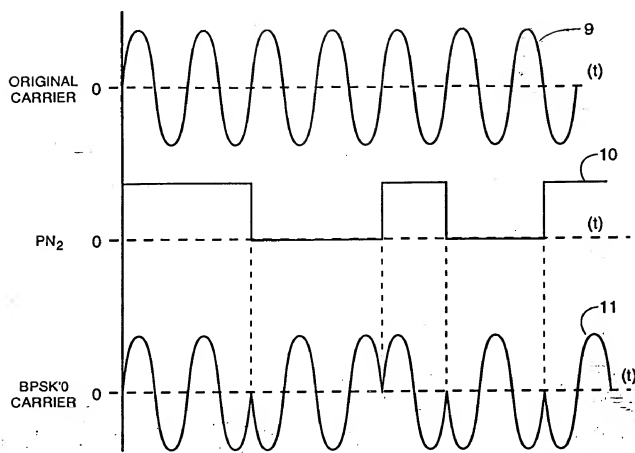


FIG. 3

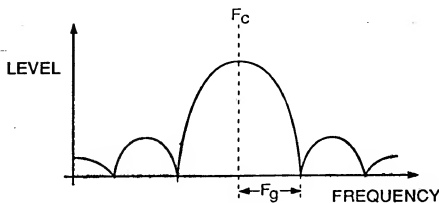
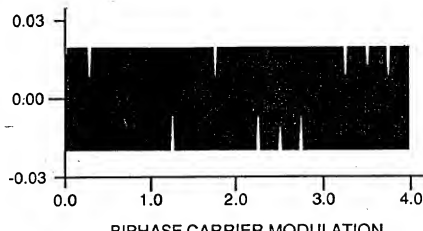


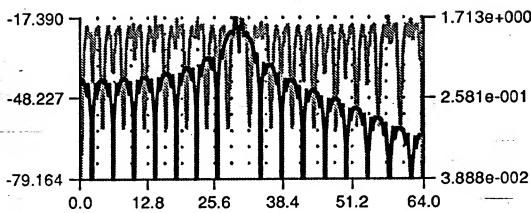
FIG. 4



BIPHASE CARRIER MODULATION

$$\cos[\omega_0 t + \frac{\pi}{2} P N_2(t)]$$

FIG. 5A



BIPHASE CARRIER MODULATION SPECTRUM

FIG. 5B

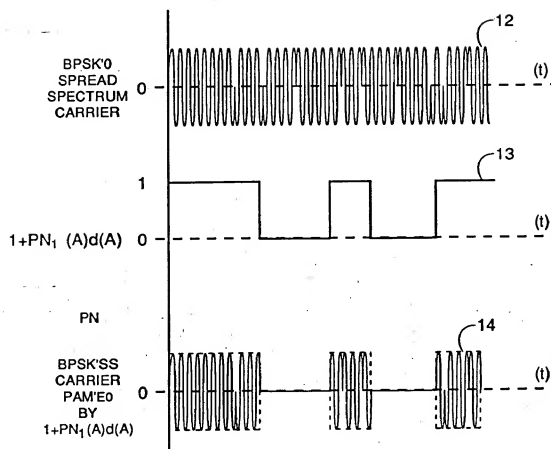
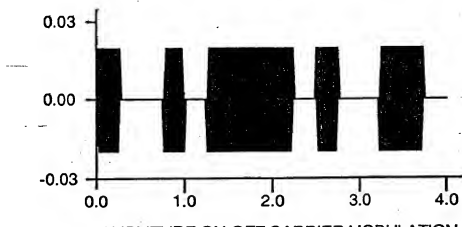


FIG. 6



$$[1 + PN_1(t)] \cos[\omega_0 t]$$

FIG. 7A

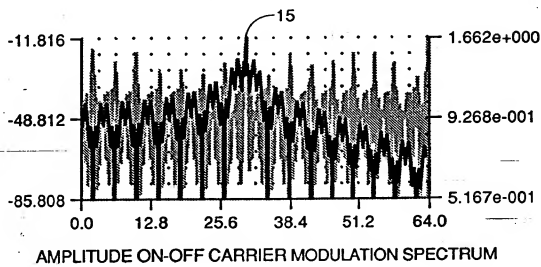
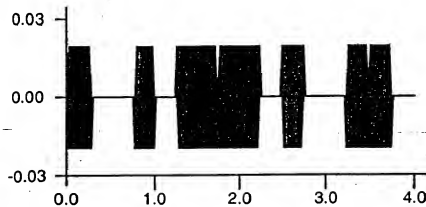


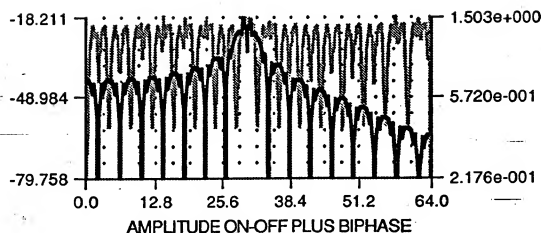
FIG. 7B



AMPLITUDE ON-OFF PLUS
BIPHASE CARRIER MODULATION

$$[1 + PN_1(t)] \cos [\omega_0 t + \frac{\pi}{2} PN_2(t)]$$

FIG. 8A



AMPLITUDE ON-OFF PLUS BIPHASE
CARRIER MODULATION SPECTRUM

FIG. 8B

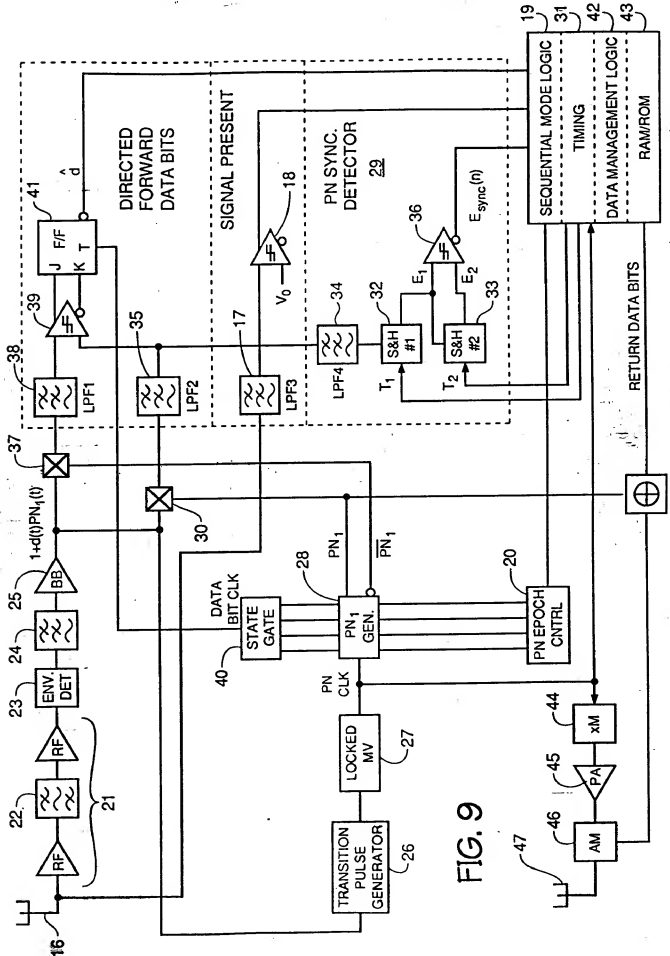


FIG. 9

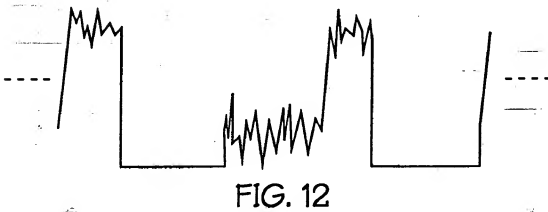
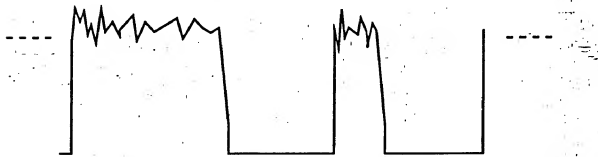
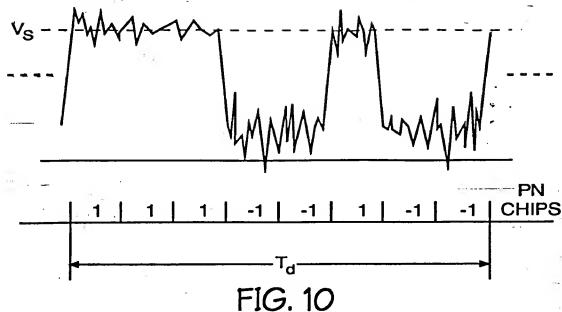




FIG. 13

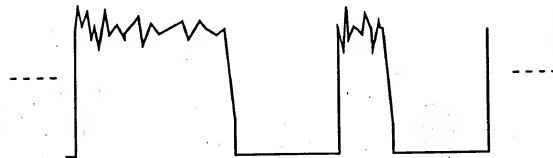


FIG. 14

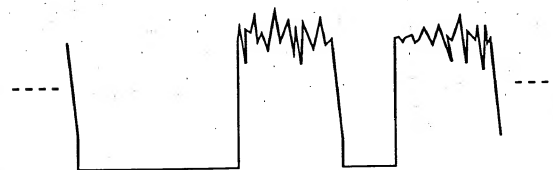


FIG. 15

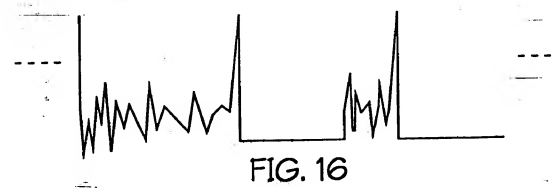


FIG. 16